

• 短篇论著 •

## 难治性肺炎支原体肺炎患儿泛免疫炎症值与病情、预后的关系\*

王翠华<sup>1</sup>, 杨建功<sup>2△</sup>, 李敏艳<sup>1</sup>, 晏丽<sup>1</sup>, 张枫<sup>3</sup>

1. 汉中职业技术学院, 陕西汉中 723002; 2. 汉中市人民医院, 陕西汉中 723000;

3. 汉中市疾病预防控制中心, 陕西汉中 723000

**摘要:**目的 探讨泛免疫炎症值(PIV)与难治性肺炎支原体肺炎(RMPP)患儿病情、预后的关系。

**方法** 选取 2023 年 1—12 月汉中市人民医院收治的 106 例 RMPP 患儿作为 RMPP 组,另选取 100 例普通肺炎支原体肺炎患儿作为 GMPP 组,100 例体检健康儿童作为对照组。根据 RMPP 患儿的病情严重程度分为轻症组(65 例)、重症组(41 例),根据 RMPP 患儿疾病转归分为预后良好组(73 例)、预后不良组(33 例)。比较患者基线资料的差异。分析 PIV 与 RMPP 患儿病情严重程度的关系;采用受试者工作特征(ROC)曲线分析 PIV 对 RMPP 患儿疾病转归的评估价值,多因素 Logistic 回归分析探讨 RMPP 患儿疾病转归的影响因素。**结果** RMPP 组 PIV 高于 GMPP 组和对照组( $P < 0.05$ ),GMPP 组 PIV 高于对照组( $P < 0.05$ )。重症组 PIV 高于轻症组( $P < 0.05$ )。RMPP 患儿 PIV 与临床肺部感染评分(CPIS)呈正相关( $r = 0.537, P < 0.001$ )。预后不良组 PIV 高于预后良好组( $P < 0.05$ )。预后不良组早产儿、先天性气道发育异常、先天性心脏病、低体重儿比例和 C 反应蛋白(CRP)、降钙素原(PCT)、酸脱氢酶(LDH)水平高于预后良好组( $P < 0.05$ )。多因素 Logistic 回归分析结果显示,先天性气道发育异常( $OR = 2.807, 95\%CI: 1.372 \sim 5.740$ ),CRP( $OR = 2.614, 95\%CI: 1.399 \sim 4.885$ ),LDH( $OR = 2.344, 95\%CI: 1.336 \sim 4.115$ ),PIV( $OR = 3.740, 95\%CI: 1.793 \sim 7.799$ )是 RMPP 患儿疾病转归的影响因素( $P < 0.05$ )。PIV 评估 RMPP 患儿疾病转归的曲线下面积为 0.906( $95\%CI: 0.861 \sim 0.951$ ),灵敏度为 88.26%、特异度为 85.49%。**结论** PIV 与 RMPP 患儿的病情严重程度相关,高 PIV 是影响 RMPP 患儿疾病转归的独立危险因素,可作为预后的评价指标。

**关键词:** 难治性肺炎支原体肺炎; 儿童; 泛免疫炎症值; 病情严重程度; 疾病转归**DOI:**10.3969/j.issn.1673-4130.2025.08.021**中图法分类号:****文章编号:**1673-4130(2025)08-1006-05**文献标志码:**A

肺炎支原体肺炎是一种常见的儿科呼吸道感染性疾病,通常由支原体引起,其中难治性肺炎支原体肺炎(RMPP)因其病程较长、症状较重及并发症较多而受到广泛关注<sup>[1]</sup>。近年来, RMPP 的发病率不断上升,但其发病机制、诊断标准和治疗方案仍存在较大争议,这使得针对 RMPP 的研究和临床管理面临挑战。目前有关 RMPP 的发病机制尚未完全阐明,普遍认为其与免疫反应失调和过度炎症反应有关<sup>[2]</sup>。

传统的炎症指标如 C 反应蛋白(CRP)、降钙素原(PCT)等在评估 RMPP 病情和预后方面存在一定局限性<sup>[3]</sup>。因此,寻找更为准确、便捷的生物标志物对于 RMPP 的病情评估和预后预测具有重要意义。泛免疫炎症值(PIV)是一种新型的炎症指标,由中性粒细胞、淋巴细胞、血小板计数和单核细胞计数综合计算得出,在评估多种疾病的炎症状态和预后方面已显示出良好的应用前景<sup>[4-5]</sup>。但 PIV 在 RMPP 中的应用研究尚属起步阶段,其与 RMPP 病情严重程度及疾

病转归的关系有待深入研究。结合以上背景,本研究主要探讨 PIV 与 RMPP 病情、预后的关系,以期在临床实践中 RMPP 的分层管理和个体化治疗提供科学依据。

### 1 资料与方法

**1.1 一般资料** 回顾性选取 2023 年 1—12 月汉中市人民医院收治的 106 例 RMPP 患儿作为 RMPP 组。另选取 100 例普通肺炎支原体肺炎患儿作为 GMPP 组,100 例到院体检健康儿童作为对照组。RMPP 组中,男 61 例,女 45 例;年龄 2~11 岁,平均(6.29±1.83)岁。GMPP 组中,男 54 例,女 46 例;年龄 2~12 岁,平均(6.54±1.76)岁。对照组中,男 49 例,女 51 例;年龄 3~10 岁,平均(6.60±1.72)岁。3 组性别,年龄比较差异无统计学意义( $P > 0.05$ ),具有可比性。RMPP 患儿纳入标准:(1)符合《儿童肺炎支原体呼吸道感染实验室诊断中国专家共识》<sup>[6]</sup>中 RMPP 的诊断标准,经规范化治疗 7 d 以上临床体征无改

\* 基金项目:陕西省教育厅教育教学改革研究项目(23ZY005);陕西省教育厅教学改革研究项目(21ZY002);汉中职业技术学院教研与科研项目(HZZYJY2021228)。

△ 通信作者, E-mail: yangjiangong11223@163.com。

善甚至加重、影像学检查无好转,且排除细菌、真菌、病毒等其他病原体感染;(2)年龄 $\leq 12$ 岁;(3)临床资料完整。排除标准:(1)恶性肿瘤,或有严重心肺疾病、免疫系统疾病或其他严重全身性疾病;(2)精神障碍类疾病;(3)确诊有其他类型的肺炎或同时存在其他呼吸道或全身性感染;(4)患儿或监护人不能正常交流。所有儿童监护人自愿签署知情同意书。本研究已通过汉中市人民医院伦理委员会审核。

## 1.2 方法

**1.2.1 资料收集** 收集所有研究对象的性别、年龄、体重指数(BMI)、户籍地址、是否为早产儿、是否存在先天性气道发育异常、是否存在先天性心脏病、是否为低体重儿、CRP、PCT、乳酸脱氢酶(LDH)、中性粒细胞计数、血小板计数、单核细胞计数、淋巴细胞计数等。

**1.2.2 血清指标检测** 收集所有研究对象的空腹静脉血样 3~4 mL,采用全自动血细胞分析仪进行血常规检测,计算 PIV,  $PIV = \text{中性粒细胞计数} \times \text{血小板计数} \times \text{单核细胞计数} / \text{淋巴细胞计数}$ 。

**1.2.3 病情严重程度及分组** 入院时使用临床肺部感染评分(CPIS)<sup>[7]</sup>对所有 RMPP 患儿病情严重程度进行评估,CPIS $\geq 6$ 分患儿纳入重症组(41例),其余纳入轻症组(65例)。CPIS 由体温、白细胞计数、气管分泌物、氧合指数及胸片 5 项参数组成,总分 0~10 分,分数越高,提示病情越严重。

**1.2.4 疾病转归及分组** 参考 RMPP 疗效判定标准<sup>[8]</sup>,将临床症状体征、肺部影像学检查基本正常或完全正常,痊愈出院的 RMPP 患儿纳入预后良好组(73例),其余纳入预后不良组(33例)。

**1.3 统计学处理** 采用 SPSS25.0 软件进行统计分析。符合正态分布的计量资料以  $\bar{x} \pm s$  表示,多组间比较行单因素方差分析,进一步两两比较 SNK-*q* 检验,两组间比较行 *t* 检验;计数资料以例数或百分率表示,组间比较行  $\chi^2$  检验。采用 Pearson 相关分析探讨 PIV 与 CPIS 评分的相关性。采用多因素 Logistic 回归分析探讨 RMPP 患儿疾病转归的影响因素。采用受试者工作特征(ROC)曲线分析 PIV 对 RMPP 患儿疾病转归的评估价值。 $P < 0.05$  为差异有统计学意义。

## 2 结果

**2.1 3 组 PIV 比较** RMPP 组、GMPP 组、对照组 PIV 分别为  $209.83 \pm 47.62$ 、 $153.27 \pm 18.54$ 、 $67.24 \pm 11.58$ ,3 组 PIV 依次降低( $P < 0.05$ )。

**2.2 不同病情 RMPP 患儿 PIV 比较** 重症组、轻症组 PIV 分别为  $286.89 \pm 18.54$ 、 $161.22 \pm 11.58$ ,两组 PIV 依次降低( $P < 0.05$ )。

**2.3 RMPP 患儿 PIV 与 CPIS 的关系** RMPP 患儿 PIV 与 CPIS 呈正相关( $r = 0.537$ ,  $P < 0.001$ )。

**2.4 不同疾病转归 RMPP 患儿 PIV 对比** 预后不良组、预后良好组 PIV 分别为  $319.75 \pm 30.25$ 、 $160.14 \pm 10.06$ ,两组 PIV 依次降低( $P < 0.05$ )。

**2.5 RMPP 患儿疾病转归的单因素分析** 预后不良组早产儿、先天性气道发育异常、先天性心脏病、低体重儿比例和 CRP、PCT、LDH 水平高于预后良好组( $P < 0.05$ ),见表 1。

表 1 RMPP 患儿疾病转归单因素分析 [ $n(\%)$  或  $\bar{x} \pm s$ ]

项目	预后良好组 ( <i>n</i> =73)	预后不良组 ( <i>n</i> =33)	<i>t</i> / $\chi^2$	<i>P</i>
性别			1.631	0.202
男	39(53.42)	22(66.67)		
女	34(46.58)	11(33.33)		
年龄(岁)	6.53 $\pm$ 1.78	6.17 $\pm$ 1.86	0.951	0.344
BMI(kg/m <sup>2</sup> )	19.13 $\pm$ 8.02	17.93 $\pm$ 8.54	0.699	0.486
户籍地址			0.794	0.373
农村	40(54.79)	15(45.45)		
城市	33(45.21)	18(54.55)		
早产儿			7.733	0.005
是	8(10.96)	11(33.33)		
否	65(89.04)	22(66.67)		
先天性气道发育异常			12.824	<0.001
是	1(1.37)	7(21.21)		
否	72(98.63)	26(78.79)		
先天性心脏病			5.792	0.016
是	3(4.11)	6(18.18)		
否	70(95.89)	27(81.82)		
低体重儿			15.424	<0.001
是	7(9.59)	14(42.42)		
否	66(90.41)	19(57.58)		
CRP(mg/L)	5.28 $\pm$ 1.12	9.03 $\pm$ 1.47	14.437	<0.001
PCT( $\mu$ g/L)	0.09 $\pm$ 0.02	0.14 $\pm$ 0.04	8.594	<0.001
LDH(U/L)	165.43 $\pm$ 49.64	217.86 $\pm$ 68.77	4.446	<0.001

**2.6 RMPP 患儿疾病转归的多因素 Logistic 回归分析** 将 RMPP 患儿疾病转归作为因变量(预后良好=0、预后不良=1),将单因素分析中差异有统计学意义的指标和 PIV 作为自变量进行多因素 Logistic 回归分析,结果显示,先天性气道发育异常( $OR = 2.807$ ,  $95\%CI: 1.372 \sim 5.740$ ),CRP( $OR = 2.614$ ,  $95\%CI: 1.399 \sim 4.885$ ),LDH( $OR = 2.344$ ,  $95\%CI: 1.336 \sim 4.115$ ),PIV( $OR = 3.740$ ,  $95\%CI: 1.793 \sim 7.799$ )是 RMPP 患儿疾病转归的影响因素( $P < 0.05$ ),见表 2。

**2.7 PIV 对 RMPP 患儿疾病转归的评估价值** PIV 评估 RMPP 患儿疾病转归的曲线下面积为 0.906 ( $95\%CI: 0.861 \sim 0.951$ ),灵敏度为 88.26%、特异度为 85.49% ( $P < 0.05$ ),最佳截断值为 229.85,见

图 1。

表 2 RMPP 患儿疾病转归的多因素分析

变量	$\beta$	SE	Wald $\chi^2$	P	OR (95%CI)
先天性气道发育异常	1.032	0.365	7.994	0.005	2.807(1.372~5.740)
CRP	0.961	0.319	9.075	0.003	2.614(1.399~4.885)
LDH	0.852	0.287	8.813	0.003	2.344(1.336~4.115)
PIV	1.319	0.375	12.372	<0.001	3.740(1.793~7.799)

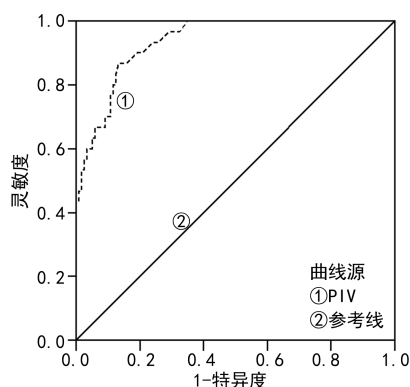


图 1 PIV 对 RMPP 患儿疾病转归的 ROC 曲线

### 3 讨 论

RMPP 是肺炎支原体感染的严重形式,通常表现为持续高热、症状明显加重,以及对标准抗菌药物治疗的反应不佳,这种形式的肺炎常导致病程延长和临床表现多样,如持久的咳嗽、呼吸困难及胸痛等,且病情可能进展迅速,增加了治疗的难度和并发症的风险<sup>[9-10]</sup>。与普通肺炎支原体肺炎患儿比较, RMPP 患儿往往住院时间更长,面临更高的肺不张、胸腔积液和肺间质纤维化等并发症风险,治疗不及时或疗效不佳可能导致死亡<sup>[11-12]</sup>。近年来有研究表明, RMPP 发病机制复杂,不仅涉及病原体的直接侵害,还与宿主免疫反应失调密切相关<sup>[13]</sup>。尽管目前对 RMPP 的认识不断深入,但在预测疾病进展和评估预后方面仍存在挑战。因此,寻找可靠的生物标志物来评估 RMPP 的严重程度和预后具有重要的临床意义。

PIV 是一种新兴的综合性炎症指标,它通过特定的算法综合评估了多种炎症标志物和免疫细胞水平<sup>[14]</sup>。PIV 能够较为全面地反映个体的炎症和免疫状态,为临床医生提供评估和管理炎症性疾病的依据<sup>[15]</sup>。与单一炎症指标比较, PIV 可能更准确地反映机体整体的炎症反应程度。近年来, PIV 在多种疾病中展现出重要价值<sup>[16]</sup>。有研究显示,在局部晚期胰腺腺癌中, PIV 被证实能有效预测患者的生存结果<sup>[17]</sup>。CETINKAYA 等<sup>[18]</sup>的研究发现, PIV 与冠状动脉疾病患者疾病严重程度密切相关,可能成为评估心血管事件风险的有效工具。PIV 在儿科领域的研究相对较少,但已有一些初步的发现,例如,在一项针对 6~18 岁肥胖儿童和青少年的研究中发现, PIV 升高与肝

脂肪变性的存在和严重程度有关<sup>[19]</sup>。尽管目前鲜见直接针对 RMPP 患儿的 PIV 研究,但鉴于 PIV 在其他炎症性疾病中的表现,以及肺炎支原体感染涉及复杂的免疫炎症反应,推测 PIV 可能在 RMPP 的评估和预后预测中具有潜在价值。

本研究结果显示, RMPP 组 PIV 高于 GMPP 组和对照组, GMPP 组 PIV 高于对照组,提示 PIV 可能成为区分 RMPP 和 GMPP 的潜在指标。分析其原因, PIV 作为一个综合性炎症指标,反映了机体整体的炎症和免疫反应程度<sup>[20]</sup>。RMPP 患儿体内的免疫炎症反应链复杂,往往存在严重的肺部炎症和强烈的免疫反应,因此 PIV 升高<sup>[21]</sup>。比较之下, GMPP 患儿的炎症程度较轻,免疫反应相对温和,因此 PIV 介于 RMPP 患儿和健康儿童之间。同时在本研究中,重症组 PIV 高于轻症组;预后不良组 PIV 高于预后良好组。分析其原因, RMPP 患儿体内通常会出现一系列复杂的免疫炎症反应,在肺炎支原体感染初期,宿主的先天免疫应答被激活,导致中性粒细胞、巨噬细胞等炎症细胞大量浸润肺组织<sup>[22]</sup>。随着感染的持续,适应性免疫系统被激活,尤其是 T 细胞反应显著增强, Th1 和 Th17 细胞大量增殖并分泌干扰素- $\gamma$  和白细胞介素(IL)-17 等多种细胞因子<sup>[23]</sup>。这些细胞因子在促进免疫反应的同时,也可能引发和加剧局部炎症,进一步影响肺组织的损伤和病情的发展<sup>[24]</sup>。在部分 RMPP 患儿中,免疫反应可能失衡,导致细胞因子如 IL-6、肿瘤坏死因子- $\alpha$  和 IL-1 $\beta$  等大量释放<sup>[25]</sup>。这种失控的细胞因子释放会引发细胞因子风暴,显著加剧局部肺部炎症,同时可能引发全身性炎症反应综合征(SIRS),对全身多个系统造成广泛的炎症和损伤,进一步加重病情<sup>[26]</sup>。同时,持续的炎症刺激可能导致血小板活化,参与炎症级联反应。这些复杂的免疫炎症过程共同影响 PIV 的各个组分<sup>[27]</sup>。重症 RMPP 患儿可能经历更强烈的细胞因子风暴和 SIRS,病情较重,导致 PIV 升高。而预后不良的患儿可能存在持续的免疫失衡和组织损伤,难以有效控制炎症过程,因此 PIV 较高。

多因素 Logistic 回归分析结果显示,先天性气道发育异常、CRP、LDH、PIV 是 RMPP 患儿疾病转归的影响因素。分析其原因,先天性气道发育异常可能

导致患儿局部通气功能障碍,增加感染风险和并发症的发生率,从而影响预后<sup>[28]</sup>。CRP 作为急性时相反应蛋白,其水平升高能够反映机体炎症反应的严重程度。当 CRP 水平升高时,通常预示着炎症反应的加剧,这可能与更严重的病情和较长的恢复期相关<sup>[29]</sup>。LDH 是组织损伤的标志物,其水平升高可能提示肺组织受到更广泛的损伤,这种损伤不仅提示病情的严重性,还可能影响肺功能的恢复和修复<sup>[30]</sup>。本研究结果还显示,PIV 评估 RMPP 患儿疾病转归的 AUC 为 0.906,灵敏度为 88.26%、特异度为 85.49%,值得临床推广。

综上所述,PIV 与 RMPP 患儿的病情严重程度相关,高 PIV 是影响 RMPP 患儿疾病转归的危险因素,可作为疾病转归的评价指标。

## 参考文献

- [1] AHN J G, CHO H K, LI D, et al. Efficacy of tetracyclines and fluoroquinolones for the treatment of macrolide-refractory *Mycoplasma pneumoniae* pneumonia in children: a systematic review and meta-analysis[J]. BMC Infect Dis, 2021, 21(1):1003.
- [2] 彭效芹, 苏国德, 卢太苓, 等. 外周血 WBC、ESR、CRP 水平对难治性肺炎支原体肺炎患儿并发肝损害的预测分析[J]. 国际检验医学杂志, 2023, 44(3):346-350.
- [3] 陶冶, 李乐, 余资笔. 难治性肺炎支原体肺炎生物标志物研究进展[J]. 实用临床医学, 2023, 24(2):129-134.
- [4] ZHAI W Y, DUAN F F, LIN Y B, et al. Pan-immune-inflammatory value in patients with non-small-cell lung cancer undergoing neoadjuvant immunochemotherapy[J]. J Inflamm Res, 2023, 16:3329-3339.
- [5] WANG S, ZHANG L, QI H, et al. Pan-immune-inflammatory value predicts the 3 months outcome in acute ischemic stroke patients after intravenous thrombolysis[J]. Curr Neurovasc Res, 2023, 20(4):464-471.
- [6] 中华医学会儿科学分会临床检验学组. 儿童肺炎支原体呼吸道感染实验室诊断中国专家共识[J]. 中华检验医学杂志, 2019, 42(7):507-513.
- [7] ZHANG T, LI X, JI X, et al. Generalized additive mixed model to evaluate the association between total pulmonary infection volume and volume ratio, and clinical types, in patients with COVID-19 pneumonia: a propensity score analysis[J]. Eur Radiol, 2021, 31(10):7342-7352.
- [8] 李华, 张晓莉. 难治性肺炎支原体肺炎患儿临床特点及疗效分析[J]. 血栓与止血学, 2022, 28(2):2-4.
- [9] TONG L, HUANG S, ZHENG C, et al. Refractory *Mycoplasma pneumoniae* pneumonia in children: early recognition and management[J]. J Clin Med, 2022, 11(10):2824.
- [10] LI M, WEI X, ZHANG S S, et al. Recognition of refractory *Mycoplasma pneumoniae* pneumonia among *Mycoplasma pneumoniae* pneumonia in hospitalized children: development and validation of a predictive nomogram model[J]. BMC Pulm Med, 2023, 23(1):383.
- [11] SONG Z, JIA G, LUO G, et al. Global research trends of *Mycoplasma pneumoniae* pneumonia in children: a bibliometric analysis[J]. Front Pediatr, 2023, 11:1306234.
- [12] YU M, ZHANG Q, YAN H. Cytokines and refractory *Mycoplasma pneumoniae* pneumonia in children: a systematic review[J]. Minerva Pediatr (Torino), 2024, 76(2):259-267.
- [13] WANG Y, YU X, LIU F, et al. Respiratory microbiota imbalance in children with *Mycoplasma pneumoniae* pneumonia[J]. Emerg Microbes Infect, 2023, 12(1):2202272.
- [14] JIANG R, HUA Y, HU X, et al. The pan immune inflammatory value in relation to non-alcoholic fatty liver disease and hepatic fibrosis[J]. Clin Res Hepatol Gastroenterol, 2024, 48(7):102393.
- [15] METE YILDIRIM A, YILDIRIM O. Association between pan-immune inflammatory value and ulcerative colitis[J]. Curr Med Res Opin, 2024, 40(4):599-603.
- [16] FENG J, WANG L, YANG X, et al. Pretreatment pan-immune-inflammation value (PIV) in predicting therapeutic response and clinical outcomes of neoadjuvant immunochemotherapy for esophageal squamous cell carcinoma[J]. Ann Surg Oncol, 2024, 31(1):272-283.
- [17] TOPKAN E, SELEK U, KUCUK A, et al. Low pre-chemoradiotherapy pan-immune-inflammation value (PIV) Measures predict better survival outcomes in locally advanced pancreatic adenocarcinomas[J]. J Inflamm Res, 2022, 15:5413-5423.
- [18] CETINKAYA Z, KELESOGLU S, TUNCAY A, et al. The role of pan-immune-inflammation value in determining the severity of coronary artery disease in NSTEMI patients[J]. J Clin Med, 2024, 13(5):1295.
- [19] DEMİRÖZ TAŞOLAR S, ÇİFTÇİ N. Role of pan immune inflammatory value in the evaluation of hepatosteatosis in children and adolescents with obesity[J]. J Pediatr Endocrinol Metab, 2022, 35(12):1481-1486.
- [20] MURAT B, MURAT S, OZGEYIK M, et al. Comparison of pan-immune-inflammation value with other inflammation markers of long-term survival after ST-segment elevation myocardial infarction[J]. Eur J Clin Invest, 2023, 53(1):e13872.
- [21] FAN F, LV J, YANG Q, et al. Clinical characteristics and serum inflammatory markers of community-acquired *Mycoplasma pneumoniae* pneumonia in children[J]. Clin Respir J, 2023, 17(7):607-617.
- [22] WEI D, ZHAO Y, ZHANG T, et al. The role of LDH and ferritin levels as biomarkers for corticosteroid dosage in children with refractory *Mycoplasma pneumoniae* pneumonia[J]. Respir Res, 2024, 25(1):266.
- [23] BEUREL E, MEDINA-RODRIGUEZ E M, JOPE R S. Targeting the adaptive immune system in depression: focus on t helper 17 cells[J]. Pharmacol Rev, 2022, 74(2):373-386.
- [24] QI J, JIA F, TIAN H, et al. Efficacy of gamma globulin

combined with azithromycin sequential therapy in the treatment of rmpp and its effect on Th1/Th2 cytokine levels [J]. *Comput Math Methods Med*, 2022, 2022: 5162768.

[25] CHEN S, PIAO Y, SONG Y, et al. Protective effects of glaucocalyxin A on the airway of asthmatic mice [J]. *Open Med (Wars)*, 2022, 17(1):1158-1171.

[26] SHI F L, YUAN L S, WONG T S, et al. Dimethyl fumarate inhibits necroptosis and alleviates systemic inflammatory response syndrome by blocking the RIPK1-RIPK3-MLKL axis [J]. *Pharmacol Res*, 2023, 189:106697.

[27] ZHAO H, CHEN X, ZHANG W, et al. Pan-immune-inflammation value is associated with the clinical stage of colorectal cancer [J]. *Front Surg*, 2022, 9:996844.

[28] HERMELIJN S M, MACKENBACH M J, VAN HORIK

C, et al. Quantitative CT imaging analysis to predict pathology features in patients with a congenital pulmonary airway malformation [J]. *J Pediatr Surg*, 2022, 57(8): 1567-1572.

[29] LI Y, GUO Z, ZHANG G, et al. The correlation between vitamin a status and refractory *Mycoplasma pneumoniae pneumoniae* (RMPP) incidence in children [J]. *BMC Pediatr*, 2020, 20(1):359.

[30] WANG S, JIANG Z, LI X, et al. Diagnostic value of serum LDH in children with refractory *Mycoplasma pneumoniae pneumoniae*; a systematic review and meta-analysis [J]. *Front Pediatr*, 2023, 11:1094118.

(收稿日期:2024-08-26 修回日期:2024-11-28)

• 短篇论著 •

## YY1 调节 Th17 平衡激活 PI3K/AKT 信号通路对子痫前期大鼠胎盘血管生成的影响\*

徐 洁<sup>1</sup>, 沈玉叶<sup>2</sup>, 吴 辰<sup>2</sup>, 贺 艺<sup>2</sup>, 黄丽琼<sup>1△</sup>

1. 咸宁市妇幼保健院产科, 湖北咸宁 437000; 2. 咸宁市中心医院/湖北科技学院第一附属医院产科, 湖北咸宁 437000

**摘要:**目的 探讨上调转录因子 Yin Yang-1(YY1)表达对子痫前期大鼠胎盘血管生成的影响及可能机制。方法 选择 30 只雌性 SD 大鼠随机分为 CON 组(正常孕鼠)、PE 组(PE+腹腔注射空白慢病毒载体)、YY1 组(PE+腹腔注射 YY1 过表达慢病毒载体), 采用尾静脉注射脂多糖诱导构建 PE 模型, 建模 18 d 后检测大鼠血压、尿蛋白、血肌酐及胎鼠生长发育情况, 免疫组织化学法检测胎盘微血管密度(MVD), 实时荧光定量 PCR(qPCR)检测胎盘组织中 Foxp3、ROR $\gamma$ t mRNA 表达, 蛋白印迹法检测胎盘组织中血管内皮生长因子(VEGF)、血管生成素-1(Ang-1)、胚胎生长因子(PLGF)及磷脂酰肌醇 3-激酶/蛋白激酶 B(PI3K/Akt)通路蛋白表达。结果 与 CON 组比较, PE 组、YY1 组大鼠收缩压、舒张压、血肌酐、尿蛋白、胎盘组织 ROR $\gamma$ t mRNA 水平增加( $P < 0.05$ ), 胎鼠体重、身长、胎盘湿重、胎盘组织 MVD、Foxp3 mRNA 及 VEGF、Ang-1、PLGF、p-PI3K、p-Akt 蛋白表达降低( $P < 0.05$ ); 与 PE 组比较, YY1 组大鼠收缩压、舒张压、血肌酐、尿蛋白、胎盘组织 ROR $\gamma$ t mRNA 水平降低( $P < 0.05$ ), 胎鼠体重、身长、胎盘湿重、胎盘组织 MVD、Foxp3 mRNA 及 VEGF、Ang-1、PLGF、p-PI3K、p-Akt 蛋白表达增加( $P < 0.05$ )。结论 上调 YY1 表达可促进 PE 大鼠胎盘血管生成, 可能与 YY1 能通过调节调节性 T 细胞/辅助性 T 细胞 17 平衡激活 PI3K/Akt 信号有关。

**关键词:** Yin Yang-1; 子痫前期; 胎盘血管生成; 磷脂酰肌醇 3-激酶/蛋白激酶 B 通路

**DOI:** 10.3969/j.issn.1673-4130.2025.08.022

**中图法分类号:** R714.2

**文章编号:** 1673-4130(2025)08-1010-06

**文献标志码:** A

子痫前期(PE)是一种以高血压、蛋白尿等为主要特征的妊娠期全身性血管疾病, 与子宫-胎盘血流循环障碍引发的胎盘持续缺氧缺血有关, 可造成复发性流产、胎儿宫内窘迫等不良母婴结局<sup>[1]</sup>。目前有学者认为, 母胎的免疫紊乱参与了 PE 的发生<sup>[2]</sup>。妊娠期母体对胎儿的免疫耐受既能保证胚胎免受母体排斥, 还对病原微生物入侵起到抵御作用, 而母胎之间免疫耐受平衡的打破可能引发 PE、自发性流产等病理妊娠

后果, 而调节性 T 细胞(Treg)/辅助性 T 细胞 17(Th17)平衡被认为参与了 PE 的发生<sup>[3]</sup>。ROR $\gamma$ t、Foxp3 表达是维持 Treg/Th17 平衡的关键, 其中 ROR $\gamma$ t 是调控 Th17 发育和功能的关键转录因子, 可通过调节 Th17 效应因子白细胞介素(IL)-17A 表达来参与机体免疫反应, 还能抑制 Treg 细胞分化和 Foxp3 表达, 影响免疫抑制相关细胞因子表达, 因此胎盘组织 Foxp3 和 ROR $\gamma$ t 表达能在一定程度反映

\* 基金项目:湖北省中央引导地方科技发展专项项目(2022BCE052)。

△ 通信作者, E-mail:12996572@qq.com。